

Международная научно-практическая конференция «Физико-технические проблемы в науке, промышленности и медицине» Секция 4. Физико-химические и изотопные технологии в науке, промышленности и медицине

Полученные результаты о содержании около двадцати элементов однозначно свидетельствуют о том, что в продуктах сгорания концентрации примесей закономерно снижаются по сравнению с исходным нанопорошком алюминия, вследствие возрастания общей массы (образование оксидов и нитридов). В тоже время в пределах статистической ошибки не выявлено эффекта дополнительной очистки нитридных фракций под действием электрических и магнитных полей, что может быть обусловлено поступлением дополнительных загрязнений с диффундирующим в массу порошка атмосферным воздухом. Статистически значимое снижение концентрации цинка может быть связано не только со структуризацией под воздействием прилагаемых полей, но и с более эффективным образованием и последующей возгонкой его оксида при высоких температурах (2200° – 2400°C). Для обнаружения эффекта дополнительной очистки нитридной фракций следует проводить очистку воздуха в электровзрывных камерах с помощью аэрозольных фильтров. Необходимо также предотвращать возможность поступления примесей на стадиях получения исходного нанопорошка и в процессе сжигания.

МОДЕЛИРОВАНИЕ И ОПТИМИЗАЦИЯ ПРОЦЕССА ПЛАЗМЕННОЙ УТИЛИЗАЦИИ ОТХОДОВ ПЕРЕРАБОТКИ ОЯТ В ВОЗДУШНОЙ ПЛАЗМЕ ВЧФ-РАЗРЯДА

А.А. Каренгин, А.Г. Каренгин

Национальный исследовательский Томский политехнический университет,

Россия, г. Томск, пр. Ленина, 30, 634050

E-mail: karenginaa@tpu.ru

Основой технологии переработки отработавшего ядерного топлива (ОЯТ) радиохимических заводов является ПУРЕКС-процесс, в котором экстракцию плутония и урана из водно-хвостовых растворов (рафинатов) осуществляют трибутилфосфатом (ТБФ) с использованием различных разбавителей (керосин, гексахлорбутадиен и др.), которые с течением времени теряют свою эффективность и превращаются в горючие отходы переработки ОЯТ (ГОП ОЯТ) [1].

Оставшиеся после первого экстракционного цикла без урана и плутония слабоконцетрированные отходы переработки ОЯТ (ОП ОЯТ) имеют следующий модельный состав [2]: $HNO_3 - 18,0$ %, $H_2O - 81,43$ %, Fe - 0,07 %, Mo - 0,1 %, Nd - 0,11 %, Y - 0,06 %, Zr - 0,058 %, Na - 0,04 %, Ce - 0,039 %, Cs - 0,036 %, Co - 0,031 %, Co - 0,036 %. По действующей технологии ОП ОЯТ выпаривают, добавляют химические реагенты (силикаты, фосфаты, бораты и др.), остекловывают и направляют на захоронение [3]. Эта технология многостадийна, требует химических реагентов, значительных энерго- и трудозатрат.

Существенное снижение энергозатрат может быть достигнуто при совместной плазменной утилизации ОП ОЯТ и ГОП ОЯТ в виде оптимальных по составу диспергированных горючих водно-органических композиций (ВОК) [4].

С использованием оригинальной математической модели установлены закономерности влияния начальных параметров воздушного плазменного потока (температура, скорость) и капель (размер, скорость), массового отношения жидкой и газовой фаз на скорость испарения капель, диспергированных ВОК на основе ОП ОЯТ И ГОП ОЯТ в воздушном плазменном потоке. Определены оптимальные по составу горючие водноорганические композиции, имеющие адиабатическую температуру горения свыше 1200 °C, и обеспечивающие их энергоэффективную переработку. Показано, что при этих условиях лимитирующей стадией всего процесса переработки таких композиций является испарение растворителя (воды).



Международная научно-практическая конференция «Физико-технические проблемы в науке, промышленности и медицине» Секция 4. Физико-химические и изотопные технологии в науке, промышленности и медицине

СПИСОК ЛИТЕРАТУРЫ

- 1. Скачек М. А. Обращение с отработавшим ядерным топливом и радиоактивными отходами АЭС. М.: Издательский дом МЭИ, 2007. 448 с.
- 2. Пантелеев Ю. А., Александрук А.М., Никитина С.А., Макарова Т.П., Петров Е.Р., Богородицкий А. Б., Григорьева М.Г. Аналитические методы определения компонентов жидких радиоактивных отходов. Л.: Труды Радиевого института им. В. Г. Хлопина, 2007. Т. XII. С. 124-147.
- 3. Никифоров А. С., Кулиниченко В.В., Жихарев М.И. Обезвреживание жидких радиоактивных отходов. М.: Энергоатомиздат, 1985. 184 с.
- 4. A.G. Karengin, A.A. Karengin, I.Yu. Novoselov, N.V. Tundeshev, Calculation and Optimization of Plasma Utilization Process of Inflammable Wastes after Spent Nuclear Fuel Recycling, Advanced Materials Research, Volume 1040 (2014) 433-436.

РАЗРАБОТКА КОМПЛЕКСА ДЛЯ ИССЛЕДОВАНИЯ МЕХАНИЧЕСКОГО НАПРЯЖЕНИЯ ИЗОЛИРОВАННЫХ ГЛАДКОМЫШЕЧНЫХ СЕГМЕНТОВ СОСУДОВ И ВОЗДУХОНОСНЫХ ПУТЕЙ ЖИВОТНЫХ, ПОДВЕРГШИХСЯ ОБЛУЧЕНИЮ

Н.И. Карпович, Н.Д. Тургунова

Национальный исследовательский Томский политехнический университет,

Россия, г.Томск, пр. Ленина, 30, 634050

E-mail: karpovitchnatalia88@mail.ru

В настоящее время активно исследуются фундаментальные механизмы регуляции сократительной активности гладких мышц сосудов и воздухоносных путей, апробируются многочисленные субстанции на моделях экспериментальных животных с целью поиска новых лекарственных средств коррекции патологических состояний. Исследования сократительной активности гладких мышц в медико-биологическом эксперименте не мыслимы без применения высокоточных и доступных датчиков силы, способных уловить малые механические напряжения кусочков бронхов и сосудов малого диаметра и незначительной толщины. В связи с этим актуальной задачей представляется разработка отечественного программно-аппаратного комплекса для медико-биологического эксперимента.

Для проведения эксперимента были приготовлены кольцевые сегменты шириной 1,5-2 мм; диаметром – 1-1,5 мм. Перед началом исследования сегменты тестировали воздействием гиперкалиевого раствора Кребса (40 мМ). Величины сократительных ответов на тестирующие растворы оценивали в процентах от амплитуды контрольного сокращения. Увеличение наружной концентрации хлорида калия ведет к деполяризации мембраны гладкомышечных клеток, открыванию потенциал-зависимых кальциевых каналов, увеличению содержания внутриклеточного кальция, что в последующем приводит к сокращению гладких мышц бронха.

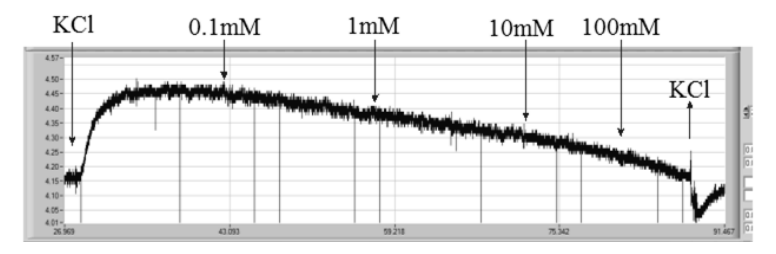


Рисунок 1. Влияние L цистеина на механическое напряжение сегментов бронха морской свинки

На фоне предсокращения, вызванного КСІ, добавление 100мкМ-100мМ L-цистеина оказывало релаксирующее действие на всем диапазоне концентраций. В ответ на добавление 100мкМ, 1000мкМ, 10мМ и 100мМ L цистеина наблюдалось снижение механического напряжения сегментов рис.1.